

II-11 吊橋およびLanger橋の組み合せ不静定係数について

北海道大学工学部 正員 渡辺 昇

吊橋の cable の形状及び Langer 橋の arch の形状は

夫々 sag f 及び rise f をもつて次抛物線形とする。

図 1-a, b において、吊橋 cable の支間中央点及び Langer 橋の arch crown を仮りに切断し、ここに一組の力 Γ をかけたときの載荷点の水平方向の elongation 及び shortening を daa とし、その時の補剛桁の x 点の曲げモーメントを M_a とすれば、吊橋又は Langer 橋の不静定係数 $\bar{\gamma}$ は

$$\bar{\gamma} = \frac{\int_0^l \frac{M_a^2}{EI} dx}{daa} \quad \text{で表され、これは定数である。構造物} \\ \text{そのものの特性を示す値である。}$$

支間 l の全長に亘って等布荷重 q (kg/m) が満載したときの曲げモーメント図、せん断力図、撓み図は、図 1-c, d, e のようになり、夫々 単純桁の曲げモーメント図、せん断力図、撓み図を $(1 - \bar{\gamma})$ 倍したものになる。

次に、図 2-a のように一つの補剛桁を共有し、これに arch 又は吊橋 cable が二ヶ組み合わされた構造 (n 次不静定) (図 2-a では 4 次不静定) を考える。

今夫々の不静定係数を $\bar{\gamma}_1, \bar{\gamma}_2, \dots, \bar{\gamma}_n$ とすれば、橋全体としての不静定係数 (組み合せ不静定係数と呼ぶことにする) $\bar{\gamma}$ は、

$$\bar{\gamma} = \sum_{i=1}^n \begin{vmatrix} Y_1 & 1 & & & \\ Y_2 & 1 & & & \\ Y_3 & 1 & & & \\ \vdots & \vdots & & & \\ 1 & 0 & & & \\ \vdots & \vdots & & & \\ 1 & 0 & & & \end{vmatrix} \div \begin{vmatrix} Y_1 & Y_2 & \cdots & Y_n & -f \text{ 行} \\ Y_2 & Y_3 & \cdots & Y_n & \\ \vdots & \vdots & \ddots & \vdots & \\ Y_n & Y_1 & \cdots & Y_{n-1} & \\ 1 & 1 & \cdots & 1 & \uparrow \text{列} \end{vmatrix}$$

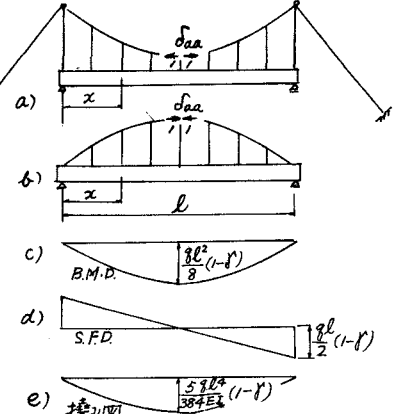


図 1-a, b, c, d, e

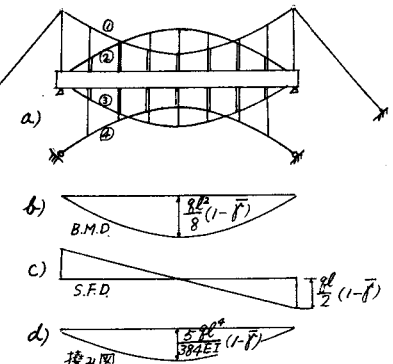


図 2-a, b, c, d

も成立する。例えば、図 2-a のような 4 次不静定構造では、

$$\bar{\gamma} = \left\{ \begin{vmatrix} 1 & Y_{11} & Y_{12} & Y_{13} & Y_{14} \\ 1 & Y_{21} & Y_{22} & Y_{23} & Y_{24} \\ 1 & Y_{31} & Y_{32} & Y_{33} & Y_{34} \\ 1 & Y_{41} & Y_{42} & Y_{43} & Y_{44} \end{vmatrix} \mid \begin{vmatrix} Y_{11} & Y_{12} & Y_{13} & Y_{14} \\ Y_{21} & Y_{22} & Y_{23} & Y_{24} \\ Y_{31} & Y_{32} & Y_{33} & Y_{34} \\ Y_{41} & Y_{42} & Y_{43} & Y_{44} \end{vmatrix} \right\} \div \begin{vmatrix} Y_{11} & Y_{12} & Y_{13} & Y_{14} \\ Y_{21} & Y_{22} & Y_{23} & Y_{24} \\ Y_{31} & Y_{32} & Y_{33} & Y_{34} \\ Y_{41} & Y_{42} & Y_{43} & Y_{44} \end{vmatrix}$$

となる。

このようにして $\bar{\gamma}$ を先づ予め計算しておくれば、支間 l に等布荷重 q (kg/m) が満載したときの曲げモーメント図、せん断力図、撓み図は、図 2-b, c, d のようになり、夫々 単純桁の曲げモーメント図、せん断力図、撓み図を $(1 - \bar{\gamma})$ 倍したものになる。

又、補剛桁の曲げモーメント、せん断力の影響線も、一次不静定の吊橋又はLanger橋と同様にしき求められる。すなわち、 γ^* の代りに $\bar{\gamma}^*$ を用いればよい。

ここで $\bar{\gamma}_{ij}^*$ の性質を述べると、

$$\frac{\int_0^x M_i M_j dx}{d_{ij}} \text{ であるから, } \bar{\gamma}_{ij}^* = \frac{d_{ij}}{\int_0^x \frac{M_i M_j}{EI} dx} \text{ である。そして, } d_{ij} = \int_0^x \frac{M_i M_j}{EI} dx + \int_0^x \frac{N_i N_j}{EA} dx + \int_0^x \frac{Q_i Q_j}{GA} dx \text{ である。}$$

しかるに、この d_{ij} の右辺の中でも、 $\int_0^x \frac{N_i N_j}{EA} dx$ は、外的不静定橋（吊橋、逆Langer橋）と、内的不静定橋（下路Langer橋、倒立Langer橋）との組み合せでは、 $\int_0^x \frac{N_i N_j}{EA} dx = 0$ 、外的不静定橋と外的不静定橋との組み合せでは、 $\int_0^x \frac{N_i N_j}{EA} dx = 0$ 、内的不静定橋と内的不静定橋との組み合せでは、 $\int_0^x \frac{N_i N_j}{EA} dx \neq 0$ である。故に、図2-a では $\bar{\gamma}_{12}^* = \bar{\gamma}_{13}^* = \bar{\gamma}_{24}^* = \bar{\gamma}_{34}^* \neq \bar{\gamma}_{23}^*$ である。

次に、この組み合せ不静定係数 $\bar{\gamma}^*$ の公式を検算してみよう。

今、図3の横断図のように、arch材と吊材とを、

夫々、n等分してみる。そして、この分離した

Langer橋（但し、補剛桁は共有）の夫々の不静定

係数を $\bar{\gamma}_1, \bar{\gamma}_2, \dots, \bar{\gamma}_n$ とし、これに組み合せ公式を

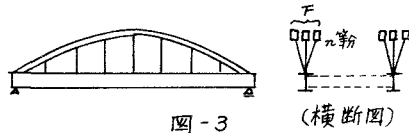


図-3

適用した場合、組み合せ不静定係数 $\bar{\gamma}^*$ が、元のn等分する前のLanger橋の不静定係数に等しくなければよい。骨組材（arch材、吊材）の分離する前の断面をF、分離した後の断面を

F_1, F_2, \dots, F_n とする。

$$\bar{\gamma}_1^* = \frac{\int_0^x M_1^2 dx}{\int_0^x \frac{M_1^2}{EI} dx}, \quad \bar{\gamma}_2^* = \frac{\int_0^x M_2^2 dx}{\int_0^x \frac{M_2^2}{EI} dx}, \quad \dots, \quad \bar{\gamma}_n^* = \frac{\int_0^x M_n^2 dx}{\int_0^x \frac{M_n^2}{EI} dx}$$

$$\bar{\gamma}^* = \frac{\int_0^x M_1^2 dx + \int_0^x \frac{N_1^2}{EA} dx + \int_0^x \frac{Q_1^2}{GA} dx + \sum \frac{S_i^2}{EF_i} s}{\int_0^x \frac{M_1^2}{EI} dx + \int_0^x \frac{N_1^2}{EA} dx + \int_0^x \frac{Q_1^2}{GA} dx + \sum \frac{S_i^2}{EF_i} s}, \quad \dots, \quad \bar{\gamma}^* = \frac{\int_0^x M_n^2 dx + \int_0^x \frac{N_n^2}{EA} dx + \int_0^x \frac{Q_n^2}{GA} dx + \sum \frac{S_i^2}{EF_i} s}{\int_0^x \frac{M_n^2}{EI} dx + \int_0^x \frac{N_n^2}{EA} dx + \int_0^x \frac{Q_n^2}{GA} dx + \sum \frac{S_i^2}{EF_i} s}$$

しかも3つに $F_1 = F_2 = \dots = F_n$ とすれば、 $\bar{\gamma}_1^* = \bar{\gamma}_2^* = \dots = \bar{\gamma}_n^*$ である。今、 $\bar{\gamma}_1^* = \bar{\gamma}_2^* = \dots = \bar{\gamma}_n^* = a, \bar{\gamma}_{12}^* = \bar{\gamma}_{13}^* = \dots = \bar{\gamma}_{n-1,n}^* = b$ とおけば

$$\bar{\gamma}^* = \begin{vmatrix} 1 & b & \cdots & b \\ 1 & a & \cdots & b \\ 1 & b & a & \cdots & b \\ \vdots & \vdots & \ddots & \ddots & \vdots \\ 1 & b & \cdots & a \end{vmatrix} \begin{vmatrix} a & 1 & \cdots & b \\ b & a & \cdots & 1 \\ b & b & a & \cdots & 1 \\ b & b & b & \cdots & 1 \\ b & b & b & \cdots & a \end{vmatrix} \div \begin{vmatrix} a & b & \cdots & b \\ b & a & \cdots & b \\ b & b & a & \cdots & b \\ \vdots & \vdots & \ddots & \ddots & \vdots \\ b & b & b & \cdots & a \end{vmatrix} = \frac{n(a-b)^{n-1}}{(a-b)^{n-1}(a+(n-1)b)} = \frac{n}{a+(n-1)b}$$

$$\bar{\gamma}_1^* = n \left\{ \bar{\gamma}_1^{*-1} + (n-1) \bar{\gamma}_{12}^{*-1} \right\}, \quad \text{しかし} \quad \bar{\gamma}_1^{*-1} = \frac{\int_0^x M_1^2 dx + \int_0^x \frac{N_1^2}{EA} dx + \int_0^x \frac{Q_1^2}{GA} dx + \sum \frac{S_i^2}{EF_i} s}{\int_0^x \frac{M_1^2}{EI} dx}, \quad \bar{\gamma}_{12}^{*-1} = \frac{\int_0^x M_1 M_2 dx + \int_0^x \frac{N_1 N_2}{EA} dx + \int_0^x \frac{Q_1 Q_2}{GA} dx}{\int_0^x \frac{M_1^2}{EI} dx} = \frac{\int_0^x M_1^2 dx + \int_0^x \frac{N_1^2}{EA} dx + \int_0^x \frac{Q_1^2}{GA} dx}{\int_0^x \frac{M_1^2}{EI} dx},$$

$$\bar{\gamma}_1^* = \frac{\int_0^x M_1^2 dx + \int_0^x \frac{N_1^2}{EA} dx + \int_0^x \frac{Q_1^2}{GA} dx + \sum \frac{S_i^2}{EF_i} s}{\int_0^x \frac{M_1^2}{EI} dx} + (n-1) \frac{\int_0^x M_1^2 dx + \int_0^x \frac{N_1^2}{EA} dx + \int_0^x \frac{Q_1^2}{GA} dx}{\int_0^x \frac{M_1^2}{EI} dx} = n \left\{ \int_0^x \frac{M_1^2}{EI} dx + \int_0^x \frac{N_1^2}{EA} dx + \int_0^x \frac{Q_1^2}{GA} dx \right\} + \sum \frac{S_i^2}{EF_i} s$$

$$\bar{\gamma}_1^* = \frac{\int_0^x M_1^2 dx}{\int_0^x \frac{M_1^2}{EI} dx} = \frac{\int_0^x M_1^2 dx}{\int_0^x \frac{M_1^2}{EI} dx + \int_0^x \frac{N_1^2}{EA} dx + \int_0^x \frac{Q_1^2}{GA} dx + \sum \frac{S_i^2}{EF_i} s}$$

しかし $\bar{\gamma}_1^* = \frac{F_1}{n}$ であるから、

となり、これは全く分離しない元のLanger橋の不静定係数に等しい。かくて証明せられた。
図2-a のような組み合せ構造や Langer 橋を吊橋で補強したりする場合などの解析に、この理論は役に立つ。